

мыми другой системы —  $2b$ , длина иглы  $L \operatorname{tg} \theta$ , где  $\theta$  — орбитальный угол вылета частицы.

Опустив рассмотрение формы полей событий для этого случая, приведем формулу вероятности прохождения частицы через коллиматорную систему прямоугольного сечения в зависимости от угла  $\theta$ :

$$F(\theta) = 1 - \frac{\operatorname{tg} \theta}{2\pi} \left( q + p - \frac{qp \operatorname{tg} \theta}{2} \right),$$

если

$$0 \leq \theta \leq \operatorname{arctg} \left( \frac{1}{q} \right);$$

$$F(\theta) = 1 - \frac{2}{\pi} \left[ q \operatorname{tg} \theta (1 - \sqrt{1 - (q \operatorname{tg} \theta)^2}) + \right. \\ \left. + \arccos \left( \frac{1}{q \operatorname{tg} \theta} \right) - \frac{1}{2} qp \operatorname{tg}^2 \theta + \frac{p}{q} \right],$$

если

$$\operatorname{arctg} \left( \frac{1}{q} \right) \leq \theta \leq \operatorname{arctg} \left( \frac{1}{p} \right);$$

$$F(\theta) = 1 - \frac{2}{\pi} \left[ \arccos \left( \frac{1}{q \operatorname{tg} \theta} \right) + \right. \\ \left. + \arccos \left( \frac{1}{p \operatorname{tg} \theta} \right) - \sqrt{(q \operatorname{tg} \theta)^2 - 1} - \right. \\ \left. - \sqrt{(p \operatorname{tg} \theta)^2 - 1} + \frac{1}{2} qp \operatorname{tg}^2 \theta + \right. \\ \left. + \frac{1}{2} \left( \frac{q}{p} + \frac{p}{q} \right) \right], \quad (2)$$

если

$$\operatorname{arctg} \left( \frac{1}{p} \right) \leq \theta \leq \theta_{\max} = \operatorname{arctg} \sqrt{q^{-2} + p^{-2}};$$

$$q = \frac{L}{2a} \geq p = \frac{L}{2b}.$$

Угловое распределение излучения на выходе коллиматорной системы определяется выражением

$$\Phi(\theta) d\theta = F(\theta) I(\theta) d\theta, \quad (3)$$

где  $I(\theta)$  — угловое распределение излучения на входе коллиматора; при изотропном распределении  $I(\theta) \sim \sin \theta$ .

На рис. 3 показаны угловые распределения излучения на выходе коллиматора квадратного сечения ( $q = p$ ) при изотропном распределении на входе для нескольких значений  $q$ .

$$F(\theta) \sin \theta$$

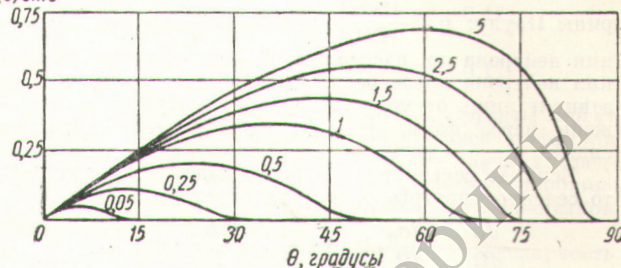


Рис. 3. Угловое распределение излучения на выходе коллиматора квадратного сечения.

Доля излучения, проходящего через коллиматорную систему, вычисляется по формуле

$$\Omega = \frac{\int_0^{\theta_{\max}} F(\theta) I(\theta) d\theta}{\int_0^{\pi/2} I(\theta) d\theta}. \quad (4)$$

В целях проверки метода были проведены вычисления по формуле (4) для коллиматорной системы конической формы. Результаты вычислений хорошо согласуются с данными работы [2].

Предложенный метод может быть применен к широкому кругу задач. Использование его значительно упростит вычисления.

Поступило в Редакцию 8/II 1964 г.  
В окончательной редакции 19/III 1964 г.

#### ЛИТЕРАТУРА

- Б. В. Гнеденко. Курс теории вероятностей. М., Физматгиз, 1961.
- К. А. Петражак, М. А. Бак. ЖТФ, XXIV, 636 (1955).

УДК 539.125.523.33

## Диффузия нейтронов при спин-орбитальном взаимодействии

Ю. Н. Казаченков, В. В. Орлов

Спин-орбитальное взаимодействие приводит к поляризации быстрых нейтронов при их рассеянии на ядрах. В ряде случаев эксперимент показывает весьма высокую степень поляризации [1, 2]. Рассеяние же поляризованных нейтронов отличается азимутальной асимметрией, приводящей к преимущественному рассеянию нейтронов в направлении, обратном направлению падающего пучка. Качественное рассмотрение поляризационного эффекта при отражении нейтронов от сред проведено в работе [3].

Многократное рассеяние нейтронов при диффузии в веществе приводит к некоторой средней поляризации нейтронов, влияющей в свою очередь на процесс диффузии. В первом приближении поляризационный эффект можно охарактеризовать изменением коэффициента диффузии нейтронов.

Как показал Лепор [4], если спин нейтрона до рассеяния описывался спинором  $\chi_m^{1/2}$ , то амплитуда упругого рассеяния такого нейтрона на ядре без спи-

на записывается в виде

$$f(\theta) = [A(\theta) + B(\theta) \mathbf{n} \cdot \mathbf{\sigma}] \chi_m^{1/2}, \quad (1)$$

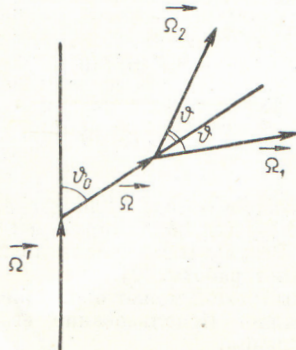
где  $\sigma$  — вектор, компонентами которого являются матрицы Паули;  $\mathbf{n} = \frac{[\Omega' \Omega]}{||\Omega' \Omega||}$ ;  $\Omega'$  — направление движения нейтрона до рассеяния;  $\Omega$  — направление движения нейтрона после рассеяния; величины  $A(\theta)$  и  $B(\theta)$  зависят лишь от угла рассеяния и могут быть выражены через фазы, учитывающие спин-орбитальную связь.

Если до рассеяния нейтрон обладал поляризацией, то сечение упругого рассеяния будет иметь вид

$$\frac{d\sigma}{d\Omega} = \frac{d\sigma_0}{d\Omega} \left[ 1 + \frac{2ReA^*B}{AA^*+BB^*} \mathbf{n} \cdot \mathbf{p}_i \right], \quad (2)$$

где  $\frac{d\sigma_0}{d\Omega} \equiv (AA^*+BB^*)$  — микроскопическое сечение упругого рассеяния неполяризованных нейтронов.

Рассмотрим влияние поляризации на распределение нейтронов после второго столкновения. Пусть



Асимметрия рассеяния нейтронов.

рассеивается неполяризованный поток нейтронов из  $\Omega'$  в  $\Omega$ , а затем в  $\Omega_1$  или  $\Omega_2$  (см. рисунок). Тогда (см. работу [4]) поляризация  $\mathbf{p}_1$  потока, рассеянного из  $\Omega'$  в  $\Omega$ , записывается в виде

$$\mathbf{p}_1 = \frac{2ReA^*(\theta_0)B(\theta_0)}{A(\theta_0)A^*(\theta_0)+B(\theta_0)B^*(\theta_0)} \mathbf{n} = p(\theta_0) \mathbf{n}, \quad (3)$$

где

$$p(\theta_0) = \frac{2ReA^*(\theta_0)B(\theta_0)}{A(\theta_0)A^*(\theta_0)+B(\theta_0)B^*(\theta_0)}.$$

Если воспользоваться формулой (2), то сечение рассеяния из  $\Omega'$  в  $\Omega_1$  и  $\Omega_2$  можно записать

$$\frac{d\sigma_{12}}{d\Omega} = \frac{d\sigma_0}{d\Omega} \left[ 1 \pm p(\theta) p(\theta_0) \mathbf{n} \cdot \mathbf{n}_1 \right],$$

где  $\mathbf{n}_1 = \frac{[\Omega \Omega_1]}{||\Omega \Omega_1||}$ . Верхний знак относится к рассеянию в  $\Omega_1$ , нижний — к рассеянию в  $\Omega_2$ , т. е. получается, что после второго рассеяния вниз полетят больше нейтронов, чем это было бы при отсутствии поляризации. Следует отметить, что эффект не зависит от направления поляризации неполяризованных нейтронов (по  $\mathbf{n}$  или против  $\mathbf{n}$ ), однако при рассеянии на

разные углы знак поляризации должен быть одинаковым.

Введем функции  $F(\mathbf{r}, \Omega, E)$  и  $P(\mathbf{r}, \Omega, E)$ ;  $F(\mathbf{r}, \Omega, E)$  — поток нейтронов в точке  $\mathbf{r}$  с энергией  $E$ , движущихся в направлении  $\Omega$ ;  $P(\mathbf{r}, \Omega, E)$  — поток нейтронов, умноженный на их среднюю поляризацию. Тогда для этих функций можно записать следующую систему уравнений:

$$\begin{aligned} (\Omega \nabla) F(\mathbf{r}, \Omega, E) + F(\mathbf{r}, \Omega, E) &= h \int dE' \int d\Omega' f(\mu_0, E') \times \\ &\times \{F(\mathbf{r}, \Omega, E') + G_z(\theta_0, E') \mathbf{n} P(\mathbf{r}, \Omega', E')\} \delta[\mu_0] \\ &- g(E, E')] + \int d\mathbf{p}_i Q(\mathbf{r}, E, \mathbf{p}_i, \Omega); \\ (\Omega \nabla) P(\mathbf{r}, \Omega, E) + P(\mathbf{r}, \Omega, E) &= \\ = h \int dE' \int d\Omega' f(\mu_0, E') \{G_y(\theta_0, E') P(\mathbf{r}, \Omega', E') + \\ &+ G_z(\theta_0, E') F(\mathbf{r}, \Omega', E') \mathbf{n} + G_x(\theta_0, E') [P(\mathbf{r}, \Omega', E') \mathbf{n}] + \\ &+ [1 - G_y(\theta_0, E')] (n P(\mathbf{r}, \Omega', E') \mathbf{n})\} \delta[\mu_0 - g(E, E')] + \\ &+ \int d\mathbf{p}_i p_i Q(\mathbf{r}, E, \mathbf{p}_i, \Omega). \end{aligned} \quad (4)$$

Здесь мы предположили, что замедление происходит только за счет упругого рассеяния;  $\delta$ -функция учитывает сохранение энергии;  $h = \frac{\Sigma_s}{\Sigma}$ ;  $Q(\mathbf{r}, E, \mathbf{p}_i, \Omega)$  — источник нейтронов с поляризацией  $\mathbf{p}_i$ ; длины измеряются в единицах  $\Sigma^{-1}$ . Функции  $G_i(\theta, E')$  имеют следующий смысл. Пусть на рассеиватель падает полностью поляризованный по оси  $y$  поток нейтронов с энергией  $E'$  (ось  $z$  мы направили по  $\mathbf{n} = \frac{[\Omega' \Omega]}{||\Omega' \Omega||}$ ), тогда  $G_i(\theta, E')$  — поляризация нейтрона по соответствующей оси при рассеянии на угол  $\theta$ .

Если пренебречь потерей энергии при упругом рассеянии и выразить  $G_i(\theta)$  через  $A(\theta)$  и  $B(\theta)$ , то вместо системы (4) можно записать:

$$\begin{aligned} (\Omega \nabla) F(\mathbf{r}, \Omega) + F(\mathbf{r}, \Omega) &= h \int d\Omega' f(\mu_0) \{F(\mathbf{r}, \Omega') + \\ &+ \frac{2ReA^*B}{\sigma_s} \mathbf{n} P(\mathbf{r}, \Omega')\} + \int d\mathbf{p}_i Q(\mathbf{r}, \Omega, \mathbf{p}_i); \\ (\Omega \nabla) P(\mathbf{r}, \Omega) + P(\mathbf{r}, \Omega) &= h \int d\Omega' \left\{ \frac{AA^*-BB^*}{\sigma_s} P(\mathbf{r}, \Omega') + \right. \\ &+ \frac{2ReA^*B}{\sigma_s} F(\mathbf{r}, \Omega') \mathbf{n} + \frac{2ImA^*B}{\sigma_s} [P(\mathbf{r}, \Omega') \mathbf{n}] + \\ &+ \left. \frac{2BB^*}{\sigma_s} (P(\mathbf{r}, \Omega') \mathbf{n}) \mathbf{n} \right\} + \int d\mathbf{p}_i p_i Q(\mathbf{r}, \Omega, \mathbf{p}_i). \end{aligned} \quad (5)$$

Для плоской среды без источников в диффузационном приближении уравнения (5) сводятся к системе

$$\left. \begin{aligned} \frac{dF_1(z)}{dz} + (1-h) F_0(z) &= 0; \\ \frac{1}{3} \cdot \frac{dF_0(z)}{dz} + (1-hf_1) F_1(z) &= \frac{2h}{3} p_1(z) (a_0 - a_2); \\ (1-hf_1) p_1(z) &= -\frac{hF_1(z)}{3} (a_0 - a_2) - \\ &- \frac{hp_1(z)}{3} (\beta_0 - \beta_2) - \frac{h}{5} p_1(z) (b_1 - b_3). \end{aligned} \right\} \quad (6)$$

Здесь

$$\left. \begin{aligned} \frac{2ReA^*B}{\sigma_s} &= \sin \theta \sum_{l=0}^{\infty} \frac{2l+1}{4\pi} \alpha_l P_l(\mu); \\ \frac{2ImA^*B}{\sigma_s} &= \sin \theta \sum_{l=0}^{\infty} \frac{2l+1}{4\pi} \beta_l P_l(\mu); \\ \frac{2BB^*}{\sigma_s} &= \sin^2 \theta \sum_{l=0}^{\infty} \frac{2l+1}{4\pi} b_l P_l(\mu); F(z, \mu) = \\ &= \sum_{l=0}^{\infty} \frac{2l+1}{4\pi} F_l(z) P_l(\mu); \\ P(z, \Omega) &= e_{\varphi} \sum_{l=1}^{\infty} \frac{2l+1}{4\pi} p_l(z) P_l^1(\mu); e_{\varphi} = \frac{[z\Omega]}{[z\Omega]}. \end{aligned} \right\} \quad (7)$$

Из уравнений (6) получим коэффициент диффузии

$$D = \frac{1}{3\Sigma_{tr} \left[ 1 - h f_1 + \frac{2}{9} h^2 \frac{(\alpha_0 - \alpha_2)^2}{1 - h f_1 + \frac{h}{3} (\beta_0 - \beta_2) + \frac{h}{5} (b_1 - b_3)} \right]} \quad (8)$$

Если, используя экспериментальные данные работ [1, 2], вычислить по формуле (8)  $D$ , а затем  $\Delta D/D$  ( $\Delta D$  — изменение коэффициента диффузии за счет поляризации), то получатся следующие значения:

для Si  $E_n = 0,56 \text{ MeV}$ ,  $\frac{\Delta D}{D} \approx -0,42$ ;

для Mg  $E_n = 0,24 \text{ MeV}$ ,  $\frac{\Delta D}{D} \approx -0,47$ .

Таким образом, поляризационные эффекты могут оказывать заметное влияние на процесс диффузии нейтронов. Оценка их роли в различных случаях, представляющих практический интерес, требует дополнительных расчетов, что, однако, осложнено недостатком опытных данных по поляризации.

Авторы приносят глубокую благодарность И. И. Бондаренко и П. С. Отставнову за полезные обсуждения затронутых в работе вопросов.

Поступило в Редакцию 13/II 1964 г.

В окончательной редакции 21/V 1964 г.

## ЛИТЕРАТУРА

- R. Lane, A. Elwyn. Phys. Rev., 126, 1105 (1962).
- A. Elwyn, R. Lane. Nucl. Phys., 31, 78 (1962).
- П. С. Отставнов. «Атомная энергия», 14, 487 (1963).
- I. Lerop. Phys. Rev., 79, 137 (1950).

УДК 539.125.52

## Характеристики асимптотического спектра нейтронов в уране

А. А. Маликкин, Ф. Насыров, В. Ф. Колесов

Характеристики асимптотического спектра нейтронов в природном уране исследовались в ряде работ [1, 2]. Результаты этих исследований не всегда согласуются между собой.

Настоящая работа выполнена с целью уточнения характеристик асимптотического спектра в природном уране. Измерены сечения деления  $U^{235}$ ,  $U^{238}$  и других спектральных индикаторов. Кроме того, проведено прямое измерение спектра нейтронов в области энергий до  $0,95 \text{ MeV}$ .

В опытах использовалась сферическая критическая сборка с активной зоной из  $U^{235}$  (90%-ное обогащение) в урановом отражателе толщиной 30 см. Отражатель имел цилиндрическую приставку диаметром 65 см, которая увеличивала толщину отражателя с одной стороны до 100 см. Критическая сборка с приставкой размещалась в центре комнаты размером  $8 \times 7 \times 4,5$  м. Для уменьшения влияния фона рассеянных от стен помещений нейтронов урановая приставка закрывалась кадмиевым чехлом.

Сечения реакций измеряли в центре приставки на расстоянии 65 см от границы активной зоны и не менее чем 32 см от ее внешних границ. В месте измерения спектр нейтронов достигал своего равновесного состояния, что устанавливалось по постоянству отношения сечений  $\sigma_f(U^{235})/\sigma_f(U^{238})$  и  $\sigma_f(Pu^{239})/\sigma_f(U^{238})$ . Сечения измерялись ионизационными камерами малых размеров, а также активационным методом. Ошибки

измерений определялись в основном неточностью калибровок камер или погрешностями абсолютного  $\beta$ -счета. Значения измеренных сечений приведены в табл. 1.

Сечения реакций определены относительно сечения деления  $Pu^{239}$ , которое мало изменяется в области быстрых нейтронов. Значение сечения деления  $\sigma_f(Pu^{239})$  получено прямыми измерениями на нейтронах утечки из критической сборки с толщиной уранового отражателя 30 см. Это значение с точностью до 1% совпало с величиной, полученной усреднением хода  $\sigma_f(E)$  [3] по спектру, измеренному прямым способом. В результате измерений интенсивности реакции деления  $Pu^{239}$  по радиусу на расстоянии 60—70 см от границы активной зоны была определена длина диффузии  $L_{ac}$ , которая оказалась равной  $9,5 \pm 0,5$  см. В табл. 2 приводятся полученные значения  $L_{ac}$  и отношения сечений различных индикаторов в сравнении с данными других работ.

Для прямого измерения асимптотического спектра нейтронов в природном уране использовался пропорциональный гелиевый счетчик, близкий по конструкции к счетчику, описанному в работе [5]. Счетчик с внутренним диаметром 52 мм и длиной рабочего объема 240 мм наполнялся  $He^3$  и ксеноном до давления 25 и 170 см рт. ст. соответственно. Для лучшего сбивания электронов к наполняющим газам добавляли небольшую примесь  $CO_2$ . Разрешающая способность